

دراسة الأعوام المتأخرة التي تؤدي إلى هجرة الكتلان الزراعية بالصحراء الغربية في مصر



بواسطة

د. صابرین محمد احمد شباره

باحث أول

الادارة المركزية للبحث العلمي
بالمهيئة العامة للأرصاد الجوية المصرية

مقدمة

السعى الدؤوب للتعرف على البقاع البكر للوطن يرسخ الانتماء والاخلاص لرفعته والتوصية به. ونطراً لأن السياسة التي تسير عليها جمهورية مصر العربية فيما يتصل بتنفيذ برامج الإنشاء والتعمير في جميع الحالات المختلفة، والتي تعتمد في بعض جوانبها، بدل اهم جوانبها، على خرو الصحراء ومصادقتها بدلاً من مجردتها والنفور منها متكاسلين عنها ومتغلبين أنه لا امل فيها ولا رحاء منها، ولا يخضى على أحد أن مصر بالفعل تعانى من مشكلات كثيرة أغلقت طرق التقدم والرخاء فلا يعقل أن تستمر في العيش على ٥٪ من مساحة مصر الكلية البالغة حوالي مليون كم مربع مع الاستمرار في البناء فوق التربة الزراعية.

جزء من رسالة قدّمت لنيل درجة الدكتوراه في الأرصاد الجوية - كلية العلوم - جامعة القاهرة - ٢٠١٠

بين باقي الأمم . يجب علينا كأبناء للوطن أن نبحث عن سبل واعية وواعدة تؤهل جذب نفر غفير من أبنائه للعيش الكريم خارج هذا النطاق الضيق في كل من صحراء سيناء والصحراء الشرقية والغربية، ولن يتم ذلك إلا إذا توفرت فرض العمل في ميادين جديدة و مختلفة، مع توفر سبل المعيشة الرغدة الهادئة والأمنة والكريمة. وفي إطار الحاجة الماسة إلى مخرج من الوضع الاجتماعي الصعب الذي تمر به مصر متمنلاً في غزو الصحراء للتعرف عليها ومصادقتها، واستجابة لذاء العقل وحب الوطن، يجب البحث على العمل والبحث والتنقيب المستمر من أجل الخبرة في المهن المتخصصة المختلفة للقيام بدراسات مستفيضة

ولا يصح أبداً ومن غير المعقول أن تبقى مدن مصر كما هي منذ الألف السنين إلى أن أصبحت اليوم مكتظة بالسكان في نطاق وادي النيل الضيق ودلاته المحدودة التي تتعرض يومياً للتعدى على أراضيها الخصبة لأغراض البناء، ونتيجة لهذا التكددس والزيادة السكانية مع قلة ونقص الموارد اللازمة للحياة ستاتي النتائج بما لا تحمد عقباها متمثلة في مظاهر فقر وبطالة وجهل وانحدار صحي وأخلاقي وانتشار الفوضى وزيادة معدلات الجريمة... إلخ. فلابد من فتح آفاق جديدة للتوسيع العمراني والزراعي والتجاري... إلخ خارج نطاق وادي النيل الضيق . فمن غير اللائق أن تبتت مصرنا الحبيبة في موقع لا يليق بمكانتها الحقيقية

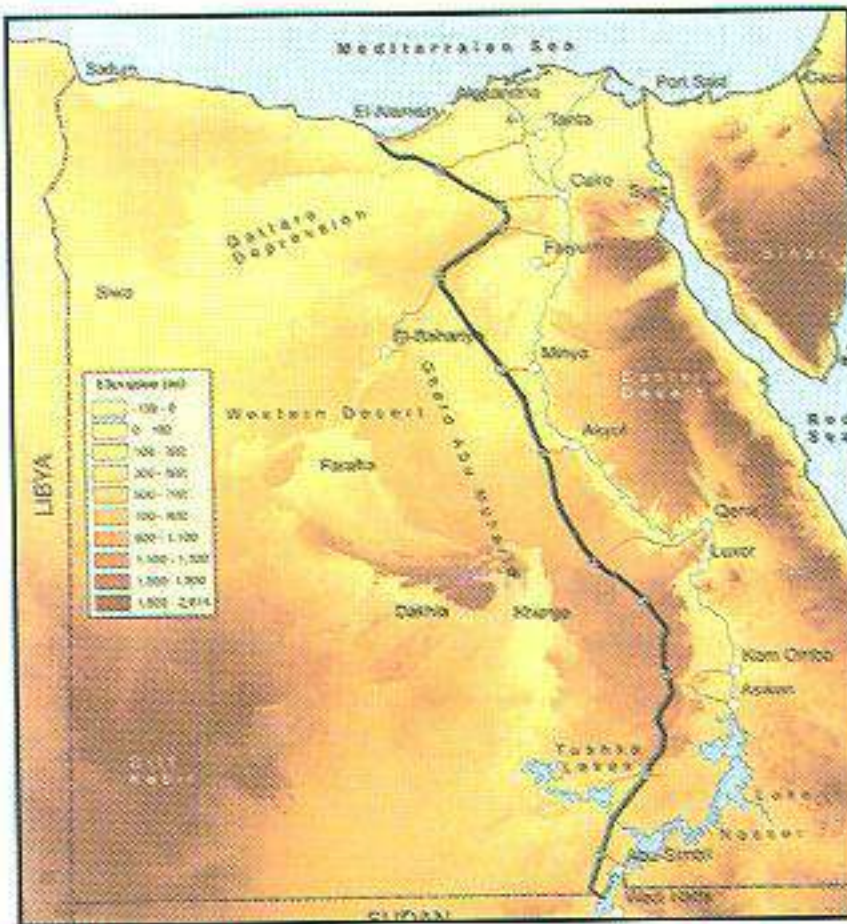
الغرض من الدراسة

دراسة مستفيضة للعوامل المناخية بشكل عام والرياح الفاعلة بشكل خاص باعتبارها أهم العوامل الجوية التي تؤدي إلى حركة الكثبان الرملية. وتم استخدام نموذج فرايبيرجر المحسن من قبل بيرس وأخرون ٢٠٠٥ في تقييم طاقة الرياح البيئية المثيرة والمحركة والناقلة للرمال من على سطح الأرض.

منطقة الدراسة

الجانب الغربي من وادي النيل والדלתا حتى حدود مصر الغربية مع ليبيا ومن ساحل البحر المتوسط شمالاً حتى حدود مصر الجنوبية مع السودان ، وقد اختيرت محطات الدراسة لتغطي مناطق المشروعات الحيوية التالية ذكرها ، وذلك للإدلاء بالرؤية العلمية المتخصصة للحالة الجوية السائدة والتي تساعد على نشاط حركة الرمال ، وذلك بغرض اتخاذ الإجراءات الوقائية المناسبة والمتمثلة غالباً في تجنب مسارات تحرك المرمال:

- ١- منطقة بحيرات توشكى والمناطق المحيطة بها، وهي واحات محافظة الوادى الجديد «البحرية . الفرافرة . الداخلة . الخارجة».

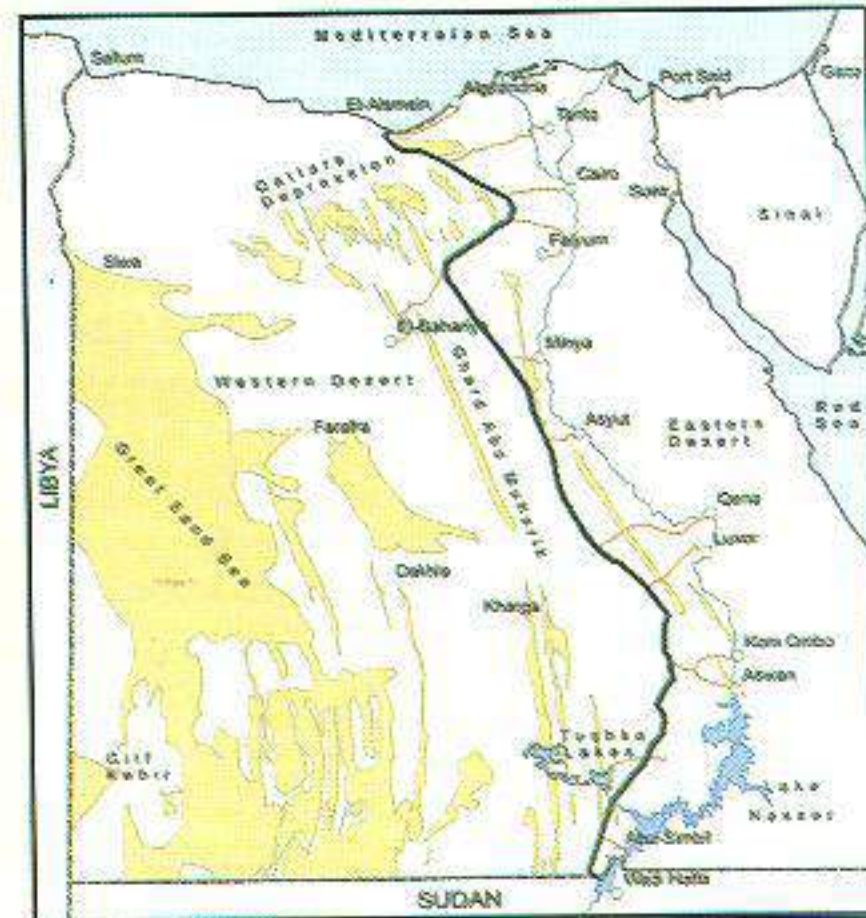


خرطة ٢١: صورة ردارية توضح طبوغرافية جمهورية مصر العربية وتظهر أماكن الدراسة بالجانب الغربي من نهر النيل ودلتاه «فاروق الباز ٢٠٠٧

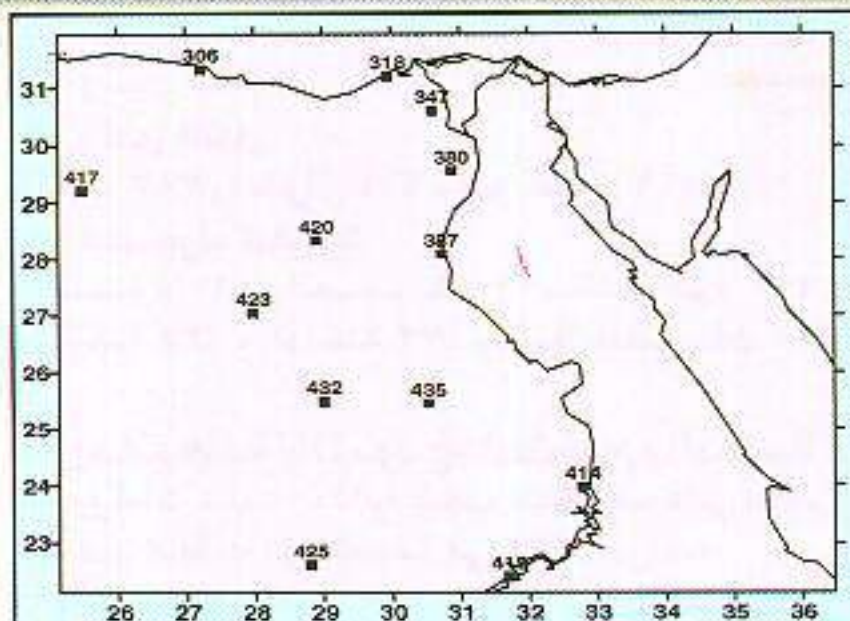
للتعرف على طبيعة صحرائنا ومحاولة حماية المشروعات المطروحة للتنفيذ بها وكمثال لذلك مشروع مصر التنمية والتعهير والمقترن من قبل العالم المصرى الجليل فاروق الباز والمزمع إنشاؤه من قبل الحكومة المصرية .

التعريف بمشروع (مصر التنمية والتعهير)

هو مشروع لا يزال تحت الدراسة وهو ليس مجرد طريق يربط بين هنا وهناك ، لكنه برنامج متكامل للتوسيع العمرانى والزراعى والصناعى والتجارى والسياحى رويداً رويداً على مسار ١٢ محور يصل طولها الكلى إلى ١٢٠٠ كم تبدأ من مراكز التكددس السكانى بوادى النيل ودلتاه وتمتد غرباً حتى تصل إلى طريق ممتد من ساحل البحر المتوسط شمالاً «منطقة العلمين» حتى بحيرة ناصر فى الجنوب إلى حدود السودان بطول ١٢٠٠ كم تقريباً « يؤهل التبادل التجارى بين القطرين الشقيقين مصر والسودان»، وعلى مسافة تتراوح ما بين ٢٠ إلى ٣٠ كم من حافة هضبة الصحراء الغربية. انظر الخريطتين ١٠ و ٢٠، يتوقع أن يبلغ تكلفة المشروع ٤٤ مليون دولار ويقترح أن يتم طرح المشروع للتمويل أمام المستثمرين سواء المحليين أو العرب أو العالميين.



خرطة ٢٢: تخطيط لمشروع مصر التنمية والتعهير « مصر رئيسى » وروافده الإثنى عشر « مصرات أفقية » وظهور حقول الكثبان الرملية بالصحراء الغربية تحيط ببحيرات توشكى وبحيرة ناصر « فاروق الباز ٢٠٠٧



خريطة ٣٠: أماكن محطات الأرصاد الجوية
الخاضعة لدراسة المائمة

٢- المنطقة الشمالية والجنوبية لبحيرة ناصر.

٣- مناطق المشروع المزمع إنشاؤه - مصر التنمية والتعمير للعالم المصري الجليل د. فاروق الباز.

محطات الدراسة والبيانات المستخدمة

تم اختيار عدد ١٣ محطة أرصادية لتلخص
للدراسة المائلة بحيث تكون موزعة على المناطق
الآتية

• انظر خريطة ٣٠، وجدول ١١.

١- الساحل الشمالي
ممثلة في محطات الأرصاد « الإسكندرية ٣١٨
مطروح ٣٠٦ ».

٢- الجانب الغربي والجنوبي من الدلتا

المحطات (كود المحطة)	Long. °	Lat. °	H (m)	بيانات سرعة الرياح	
				الفترات المتاحة	عدد الرصدات اليومية
Alexandria (318)	29 57	31 11	9.5	(1981-2004) – 24 years	8
Matruh (306)	27 13	31 20	6.0	(1981-1995) – 15 years	8
El Breegat (347)	30 32	30 33	6.0	(1981-2000) – 20 years	8
Kom Oshim (380)	30 53	29 33	13.8	(1981-1995) – 15 years	8
Minya (387)	30 44	28 05	17.5	(1981-2000) – 20 years	8
Aswan (414)	32 47	23 58	6.0	(1981-2004) – 24 years	8
Abu Simbel (419)	31 36	22 22	9.0	(1981-1995) – 15 years	3
Siwa (417)	25 29	29 12	10.0	(1981-2000) – 20 years	8
Baharia (420)	28 54	28 20	8.0	(1981-2000) – 20 years	8
Farafra (423)	27 58	27 03	10.7	(1995-2004) – 10 years	4
Kharga (435)	30 32	25 27	11.5	(1981-1995) – 15 years	8
Dakhla (432)	29 0	25 29	14.4	(1981-1995) – 15 years	8
Shark El-Auinat (425)	28 42	22 28	10.0	(1982-1987) – 6 years	4 / 8*

جدول ١١:
خطوط الطول
والعرض مع ارتفاع
الأنيمومتر فوق سطح
أرض المحطة مع
البيانات المتاحة
للدراسة.

$$DP = \sum q = \frac{U^2(U - U_t)}{100} t$$

حيث أن:

U سرعة الرياح المتوسطة بالعقدة على ارتفاع 10 متر.

U_t سرعة الرياح الابتدائية الجارفة للرمال بالعقدة على ارتفاع 10 متر ١٢٪ عقدة تقريباً.

t زمن حدوث الرياح الجارفة٪.

$U_t \cdot U^2$ يسمى معامل الوزن ويقسم على 100.

بغرض تسهيل رسم وردات الرمال.

وللتوسيع كيفية تطبيق النموذج على بيانات الرياح يتم تقسيم البيانات إلى 16 اتجاه ، كما يتم تقسيم كل مجموعة بيانات منهم إلى مجموعات لشراائح مختلفة من سرعات الرياح ، وعلى ذلك فمثلاً المتغير α هو اتجاهات الرياح (N, NNE, ..., NNW)

والمتغير β هو مجموعات سرعات الرياح ، وتجري الحسابات على النحو التالي:

$$q_{ij} = \sum_{j=1}^n q_{ij}$$

$$DP = \sum_{i=N}^{NNW} \left[\sum_{j=1}^n q_{ij} \right] \times t_{ij}$$

$$OR \quad DP = \sum_{i=N}^{NNW} [q_i] \times t_{ii}$$

أما عن الرياح الجارفة فيتم حسابها طبقاً للمعادلة الآتية والتي استخدمها فرايبيرجر 1979 بناءً على باجنولد 1941:

$$U_t = 5.75 \log \frac{10^3}{Z_0} + V_t \quad V_t = 7.0 t$$

متمثلة في محطات الأرصاد « البريجات ٣٤٧ . كوم أوشيم ٣٨٠ ».

٣- وادي النيل

المنيا ٣٨٧ . أسوان ٤١٤ . أبو سمبل ٤١٩ .

٤- الصحراء الغربية

سيوة ٤١٧ . البحيرة ٤٢٠ . الفرافرة ٤٢٣ .

الخارجة ٤٣٥ . الداخلة ٤٣٢ . شرق العوينات ٤٢٥ .

تعريفات هامة والنماذج المستخدمة بالدراسة

تعريفات هامة: بداية يجب التعرف على بعض العناصر الهامة المستخدمة في هذه الدراسة

DP ، VU

هو مجموع معدل تدفق الرمال (VU) سنوي أو موسمي أو شهري في جميع الاتجاهات ويقدر بالوحدات المتوجهة.

RDP ، VU

هو المحصلة لقيمة VU ، DP ويقدر بالوحدات المتوجهة.

RDD (°)

هو اتجاه المحصلة VU ، RDP ويقدر بالدرجات من الشمال إلى الشرق.

RDP/DP ، $index$

هو مؤشر التغير الاتجاهي للرياح وتتراوح قيمه من ٠ إلى ١ وكلما زادت قيمته دل على توحد اتجاه الرياح بالمنطقة المدروسة.

النموذج المستخدم بالدراسة هو نموذج فرايبيرجر المعدل من قبل بيرس وأخرون ٢٠٠٥ ، ومما جدير بالذكر أن نموذج فرايبيرجر الكلاسيكي المعروف ١٩٧٩ له نفس الصورة ولكن تم إدخال بعض التعديلات في طريقة الحسابات فقط لتكون النتائج أكثر دقة...

وفي العدد القادم بإذن الله تعالى من مجلة الهيئه سنستعرض تعديلاً جوهرياً بالنموذج المعدل تم اقتراحه لمعالجة القصور بنموذج فرايبيرجر المعدل ٢٠٠٥ «سنستعرض بعض نماذج القصور» ليصبح النموذج مسايراً ومعتمداً اعتماداً كلياً على الأحداث الواقعية لحدوث تحرك الرمال في الطبيعة بدلاً من اعتماد النموذج على الرياح الفاعلة الكلية والتي ربما يحدث تحرك للرمال في سرعات أقل منها ولا تدخل في الحسابات ، وربما قد تحدث الرياح الفاعلة ولا تثير الرمال وذلك لأسباب ربما تكون «طقسية - طبوبغرافية - جيولوجية». والآن نستعرض النموذج المدروس كما بالصورة الآتية:

خطوات الدراسة ونتائجها

أولاً:

- تم رسم وردات الرمال « شهرية وسنوية » لاستنتاج القيم V_U ، DP والقيم RDP ، V_U و DP ، RDP/DP وأيضاً RDD و يعبر عن مؤشر التغيرات الاتجاهية للرياح ، وتم تلخيص نتائج هذه المرحلة من الدراسة في الشكل « ١ »، والذي يوضح أشكال وردات الرمال السنوية فقط لكل محطة تحت الدراسة .

ومن أهم نتائج هذا الجزء من الدراسة

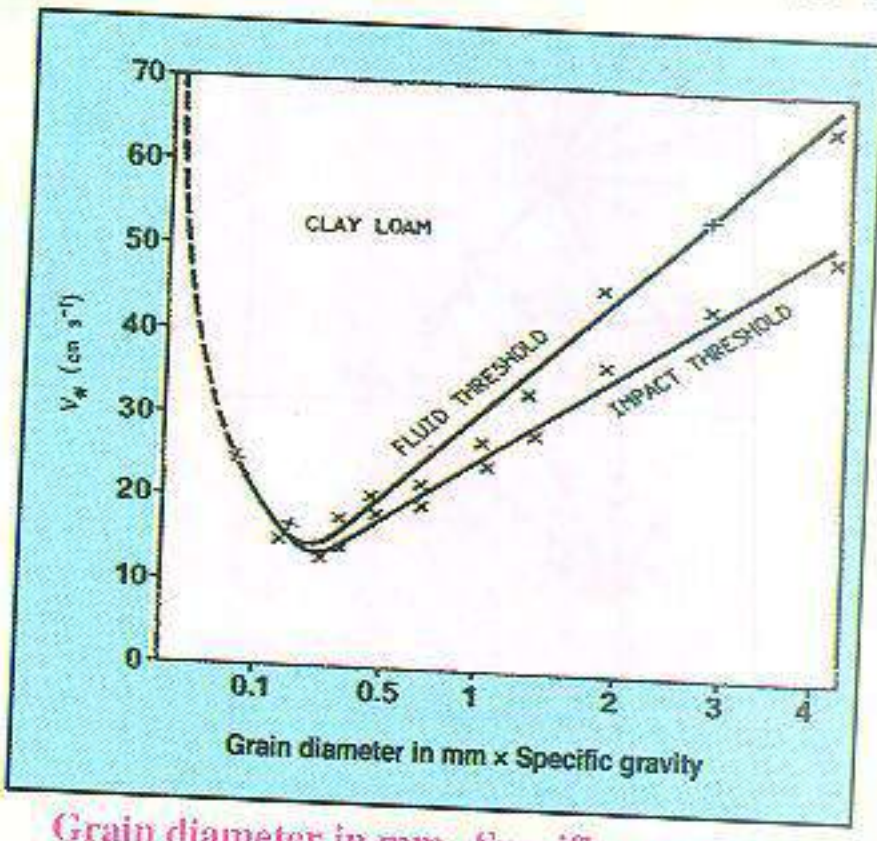
طبقاً لتصنيفات فرايبيرجر ١٩٧٩ لمستويات طاقة الرياح الجارفة للرمال، منطقة الدراسة تميزت بشكل عام بمتوسط سنوي منخفض لطاقة الرياح « متوسط سنوي لقيمة الـ DP أقل من $200 V_U$ »، وذلك فيما عدا منطقة شرق الرياح « متوسط سنوي لقيمة الـ DP متوسط لطاقة الرياح »، متوسط سنوي لقيمة الـ V_U يعادل $249 V_U$. أما عن مؤشر التغير لاتجاه الرياح فتراوح بين القيم العالية « أعلى من 80° » إلى « يقترب من الواحد »، والمتوسطة يتراوح بين 30° - 40° مع نظام رياح أحادى ضيق، والبحرية تميزت الخارجية تميزت بنظام أحادى ضيق، والبحرية تميزت بنظام ثانى حاد. وبشكل عام تميز كل من فصلى الربيع ثم الشتاء بالقيم العالية DP ، بينما تميز فصلى الخريف ثم الصيف بقيمه المنخفضة. وعلى منطقة الدراسة كل اكتشفنا أن أعلى نسبة من قيم الـ N - DP حدثت من الاتجاهات المتاخمة NNW ، لتمثل الاتجاهات الأكثر خطورة، بينما أقل نسبة لها 1.2% حدثت من الاتجاهات المتاخمة $ESE-SE$ ، لتمثل الاتجاهات الأكثراً منها. أظهرت الدراسة منطقة « متوسطية الموقع » بالصحراء الغربية تميزت بالقيم الصفرى لكل من DP & RDP والتي تزداد بشكل عام كلما اتجهنا شمالاً وجنوباً. ولو تأملنا خرائط توزيع قيم الزوايا RDD سنكتشف أن الكثبان الرملية بشكل عام أينما وجدت تدور مع عقارب الساعة كلما اتجهنا جنوباً. أما عن معدلات التغير الاتجاهي للرياح فبسهولة يمكننا اكتشاف أن الرياح الفاعلة تكون أكثر استقراراً في اتجاه وحيد كلما اتجهنا جنوباً خاصة الجنوب الشرقي من منطقة الدراسة، كما تتميز بأعلى معدلات التغير الاتجاهي شمالاً خاصة الشمال الغربي من منطقة الدراسة.

حيث أن :

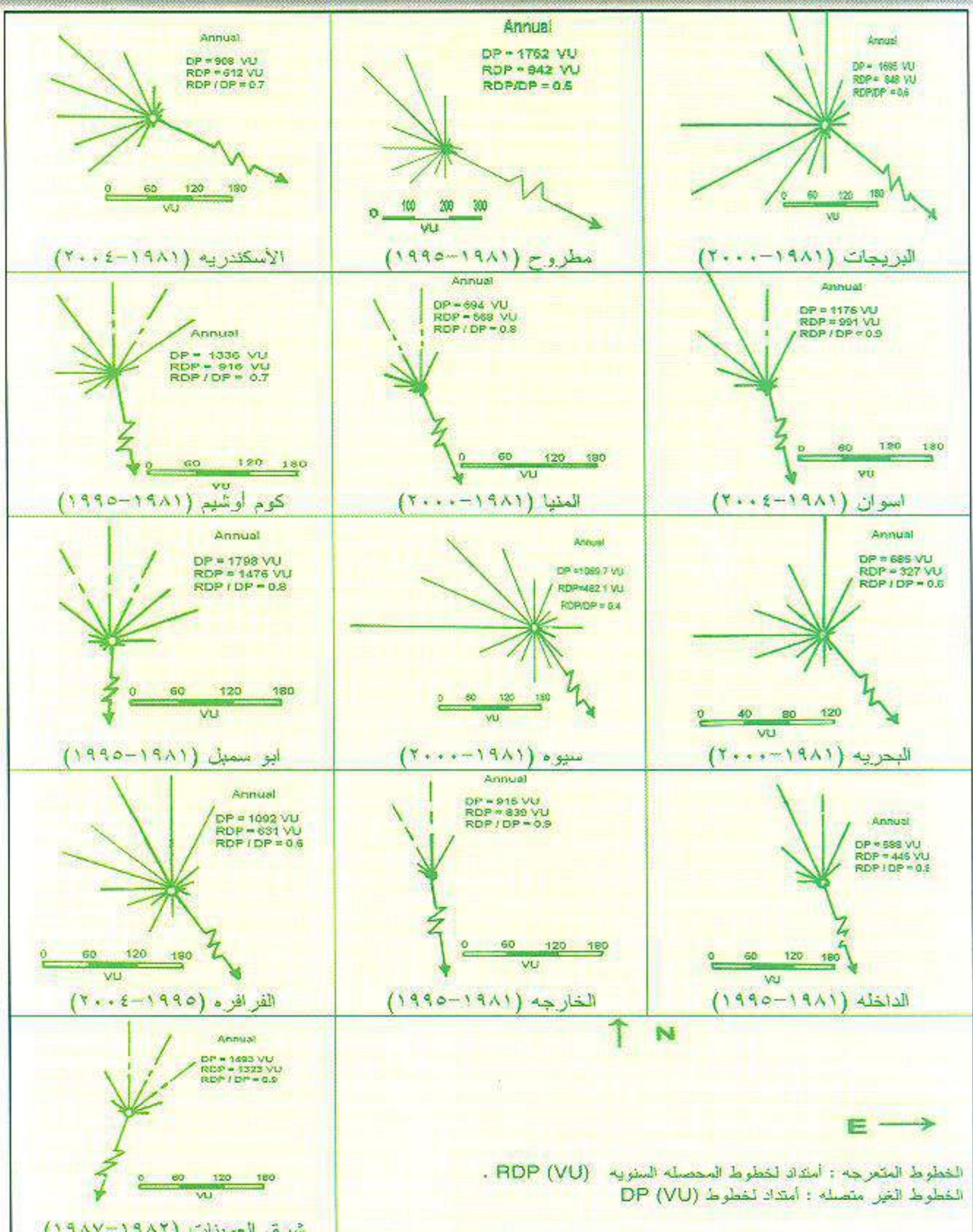
- (impact threshold velocity- cm/sec) V_{th} ، الرياح اللازمة لاستمرار الحركة القفزية للرمال
- (fluid threshold velocity- cm/sec) V_{th} ، الرياح اللازمة لبدء الحركة القفزية للرمال
- Z معامل الخشونة « هو الارتفاع من سطح الأرض الذي عنده سرعة الرياح تساوى صفر وهو ثابت مع تغير سرعات الرياح فوق نفس الموقع لعناصر الخشونة الثابتة لسطح الأرض من أشجار أو مباني أو جبال أو ... الخ »، ويمكن تعريف السرعات الحرجة السابق ذكرها من المعادلة العامة الخاصة لتلك الغرض « شيلد ١٩٥٨ »، وهي على الصورة الآتية:

$$V_{th} = A \sqrt{g * \epsilon * (\frac{\pi - \rho}{\rho})}$$

حيث أن - نصف قطر حبيبات الرمال ، و g هو ثابت الجاذبية ويساوي $980 \text{ سم}/\text{ث}^2$ ، π هي كثافة الكوارتز وتساوي $2.65 \text{ جم}/\text{سم}^3$ ، ρ هي كثافة الهواء وتساوي $1.2 \times 10^{-3} \text{ جم}/\text{سم}^3$ أما عن الثابت A فهو يساوى 1.1 في حالة V_{th} ويساوي 0.85 في حالة V_{th} ، انتظر الشكل الآتي ليوضح العلاقة بين السرعات الحرجة وحجم الحبيبات الرملية:

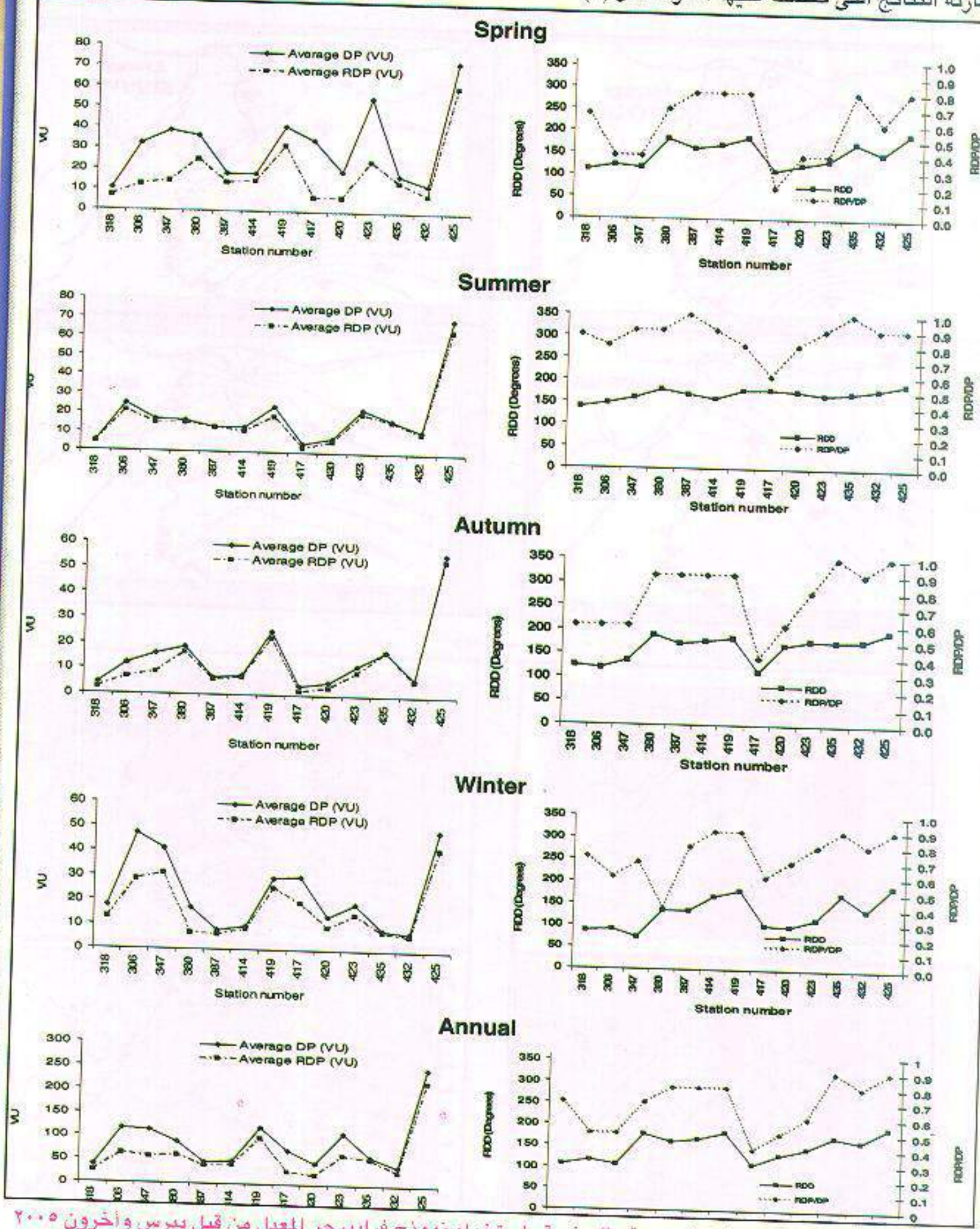


Grain diameter in mm - Specific gravity



شكل ١٤: وردات الرمال السنوية لعدد ١٣ محطة أرصاد خلال الفترات الزمنية المبينة.

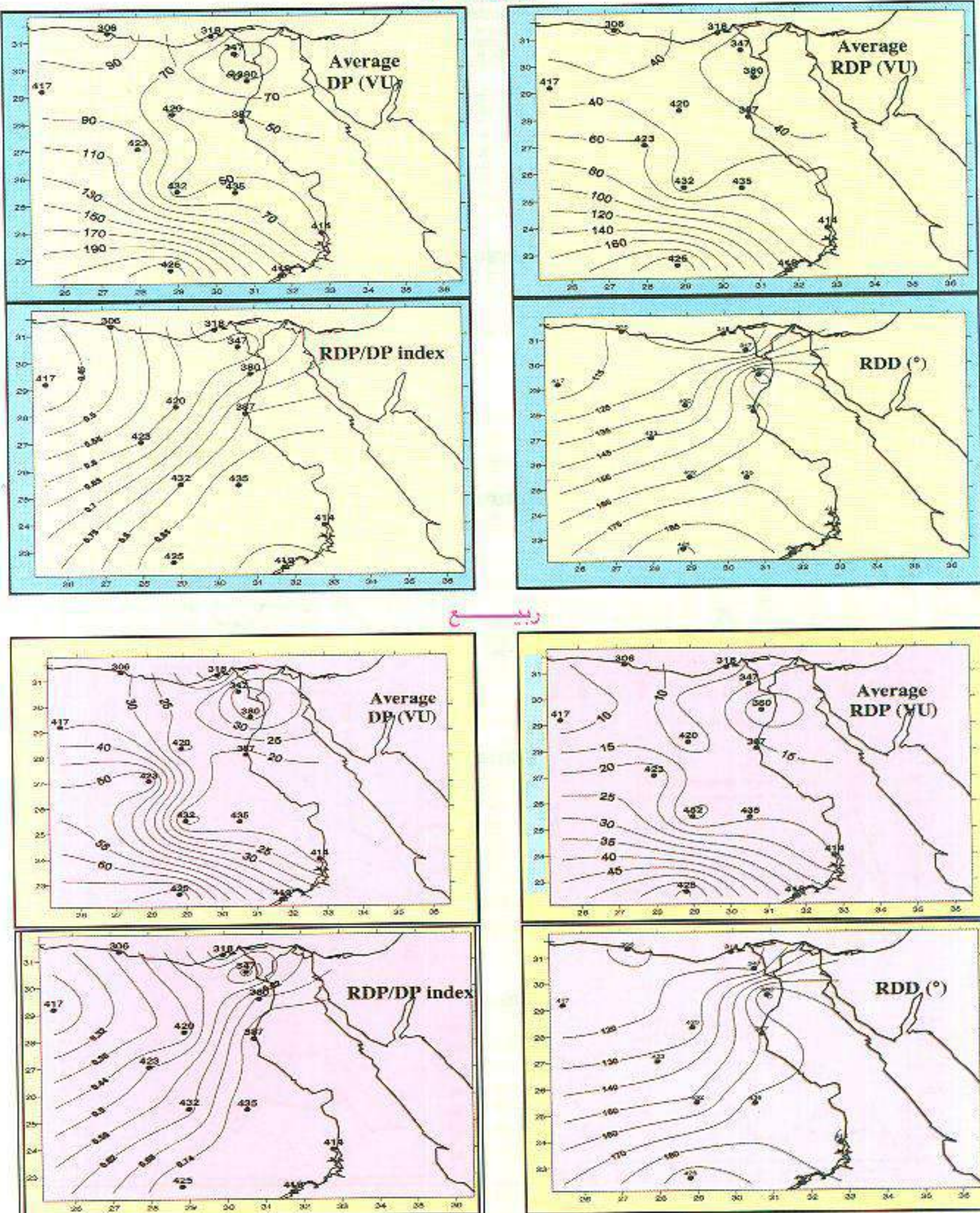
والمقارنة النتائج التي حصلنا عليها انظر الشكل (٢)



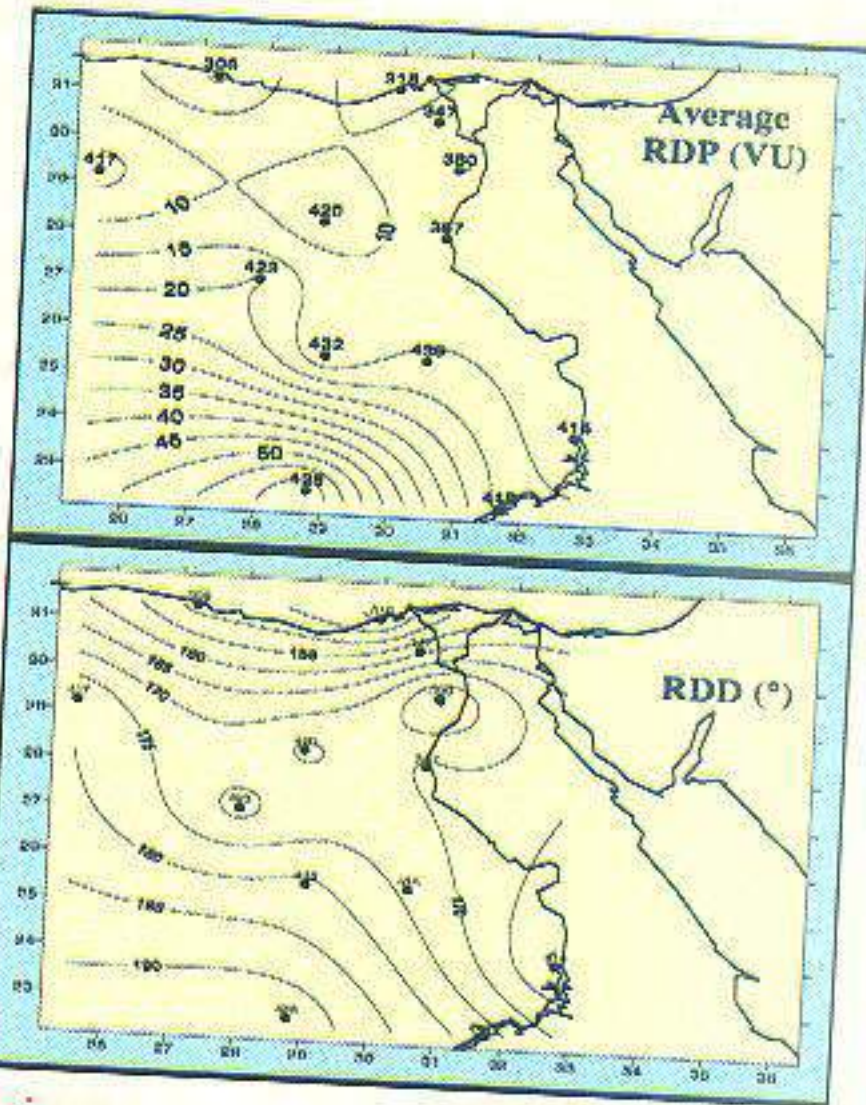
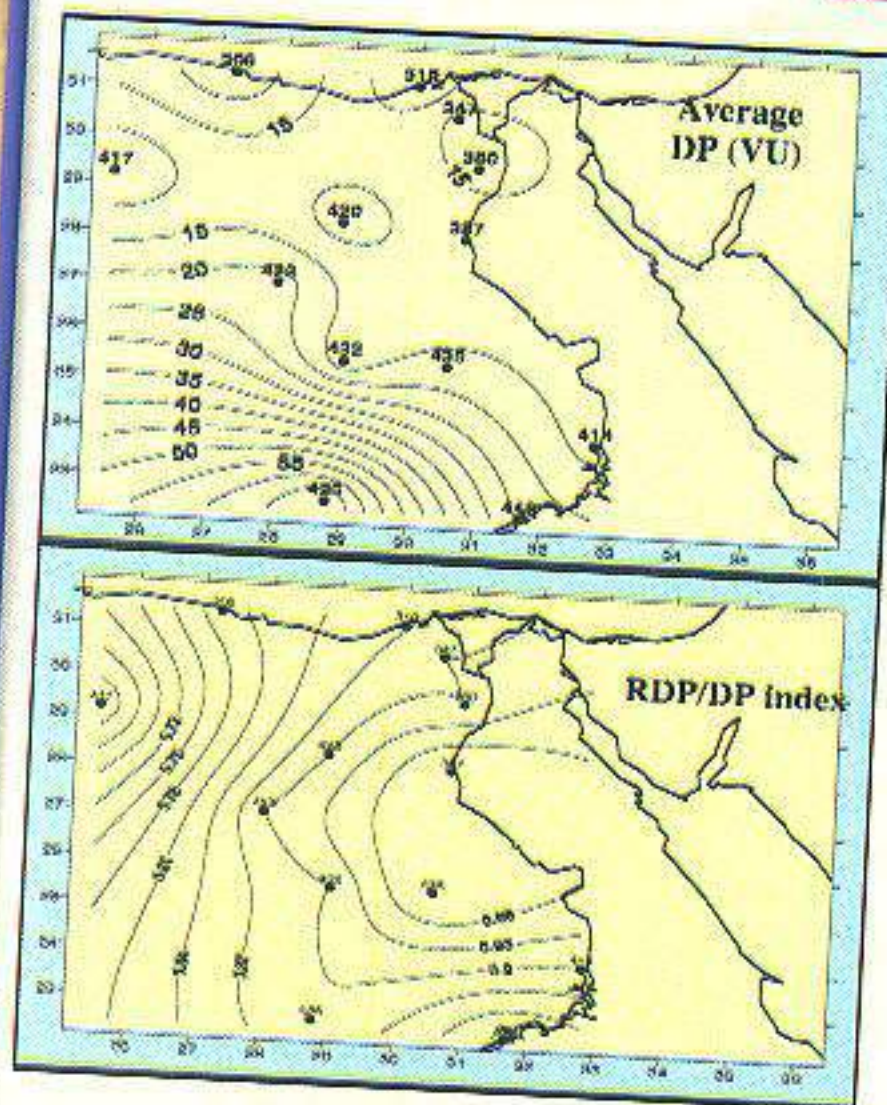
شكل ٢: مقارنة عامة للنتائج الموسمية والسنوية باستخدام نموذج فرایبرجر المعدل من قبل بيرس وآخرون ٢٠٠٥

ويمكننا توزيع النتائج السنوية والموسمية التي حصلنا عليها على خرائط خاصة ، انظر شكل ٣ .

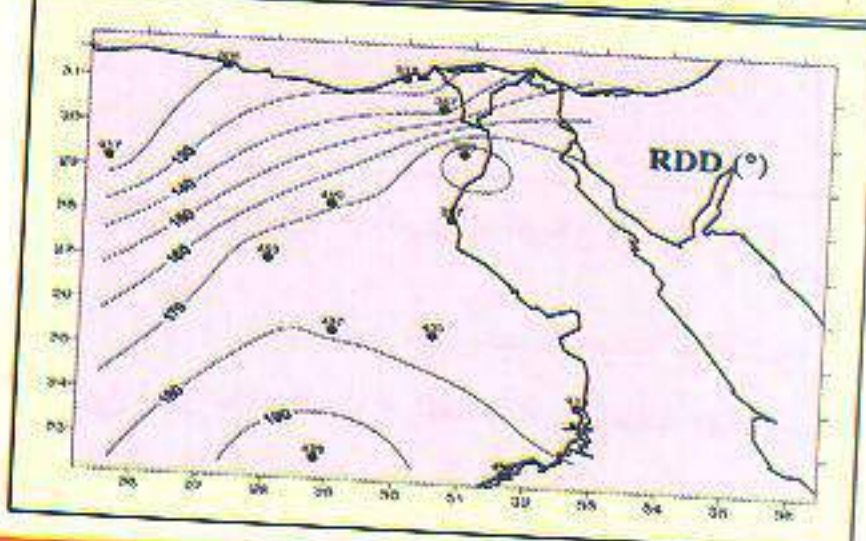
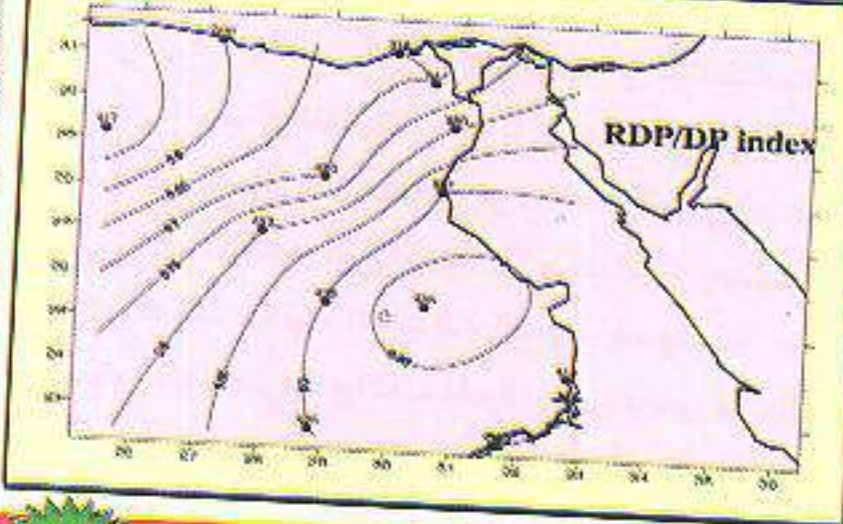
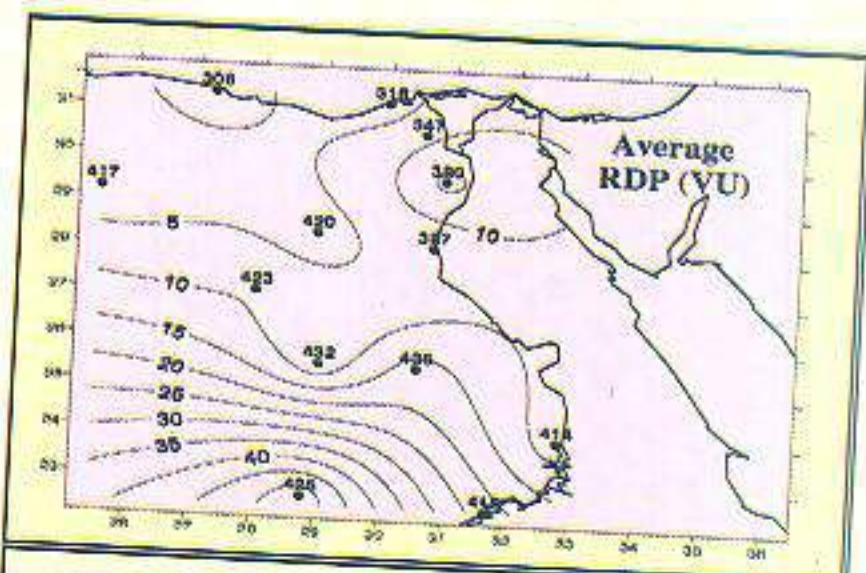
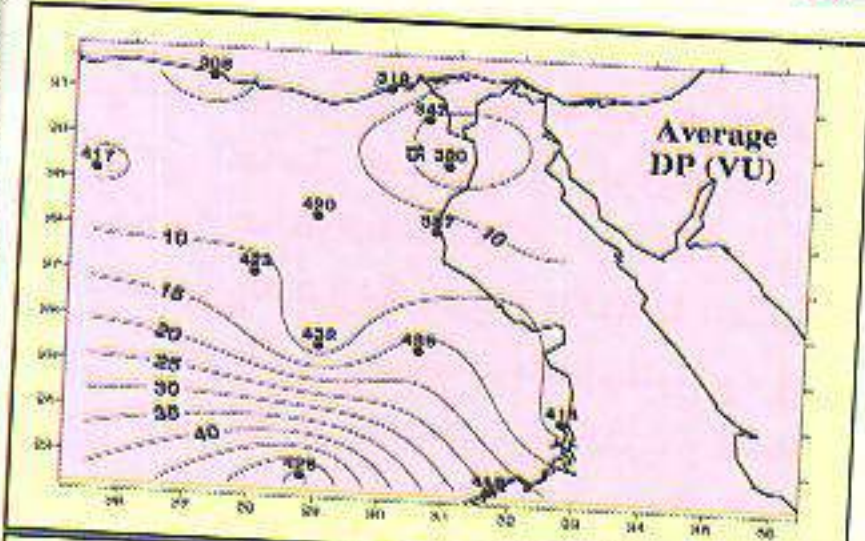
التوزيع السنوي

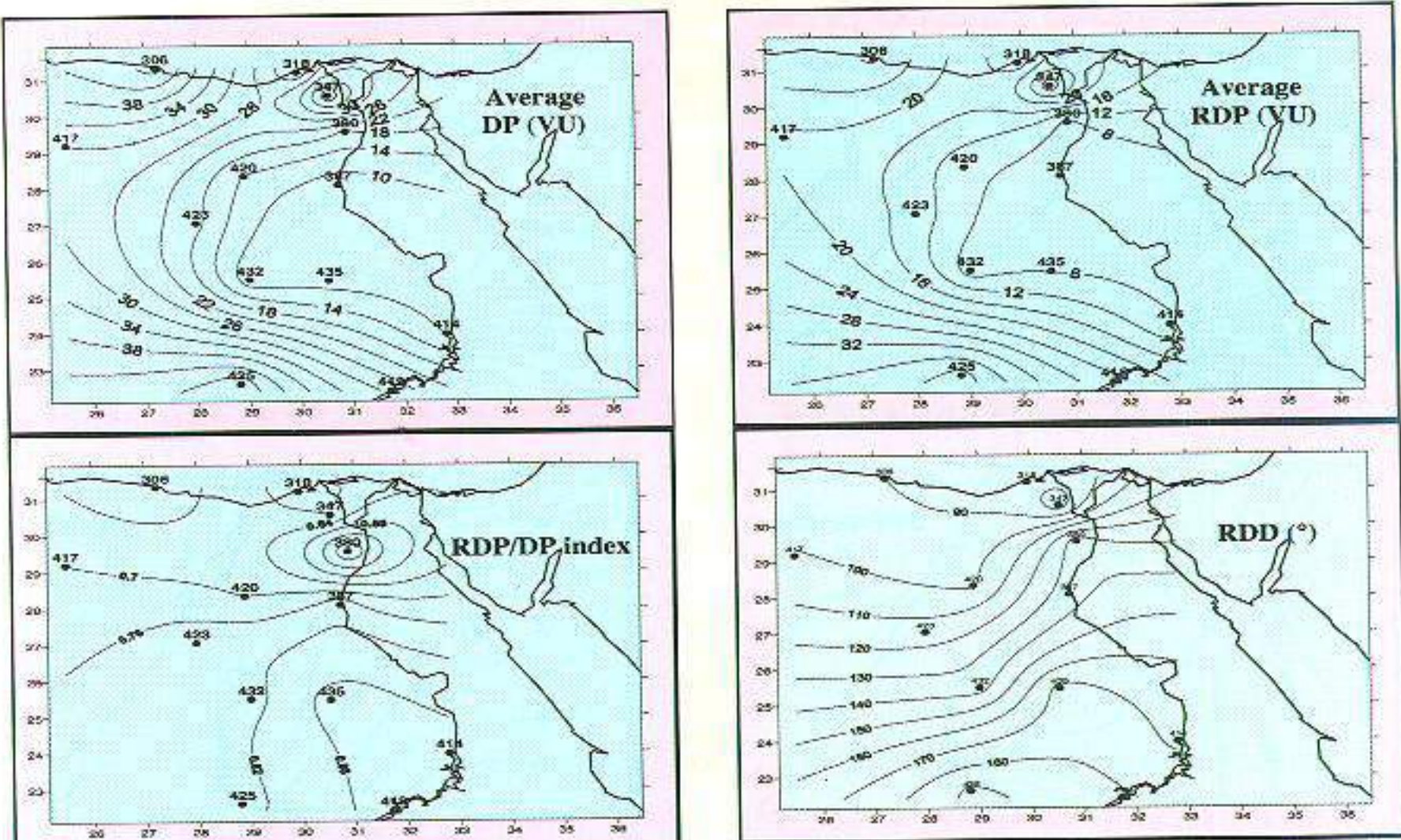


صيغة

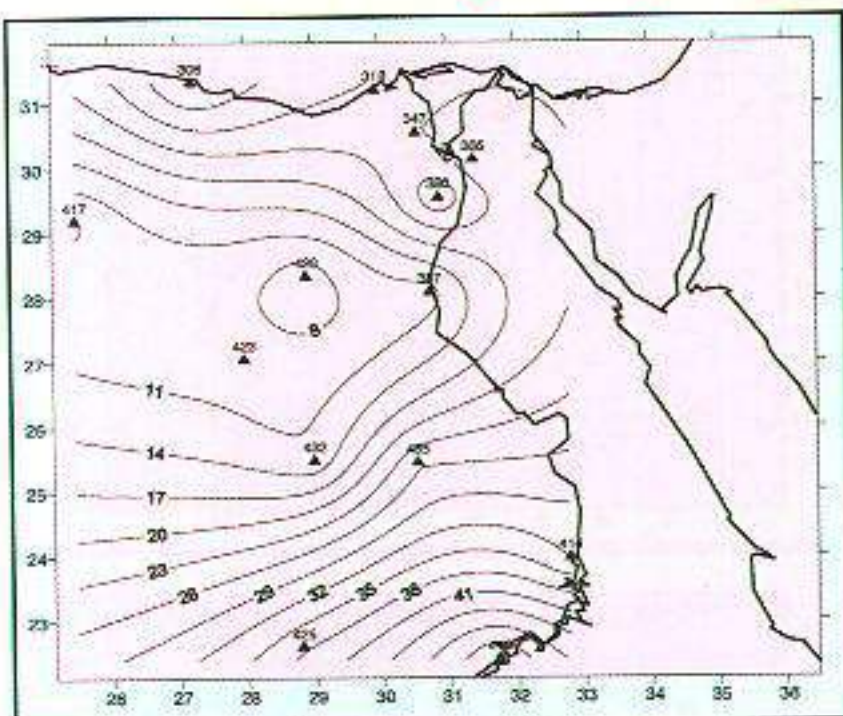


خرائط





شكل ٣: توزيع للنتائج الموسمية والسنوية على منطقة الدراسة .



خريطة ٤: توزيع تكرارات الرياح الفاعلة (%)

من «١» إلى «١١». وقد تم رسم خريطة كونتوريّة لتوزيع سرعات الرياح الفاعلة بمنطقة الدراسة، انظر الخريطة رقم «٥».

ثانيًا:

- دراسة تفصيلية للرياح الفاعلة أو الجارفة للرممال على المناطق المذكورة ، وقد أجريت الدراسة على نحو من الخطوات الآتية:
 - ١: تقييم التكرارات للرياح الفاعلة السنوية كنسبة مئوية من البيانات الخام للرياح ، وقد أظهرت الدراسة أن أعلى تكرارات للرياح الفاعلة قد حدثت على مطروح شمالاً وأبو سمبل وشرق العوينات جنوباً. انظر الخريطة رقم «٤»
 - ٢: دراسة التغيرات «بالزيادة أو بالنقصان» لتكرارات الرياح الفاعلة (%) F وأيضاً لسرعاتها ktM خلال ساعات اليوم أثناء شهور العام واستنتاج العلاقة الرياضية الإحصائية بينهم إن وجدت، حيث كانت العلاقة بينهم ضعيفة جداً بمحيطى البحريّة والفرافرة «هي نفس منطقة ضعف تكرارات الرياح الفاعلة»، انظر العلاقات

$$\underline{\text{Station 318: } M(\text{kt}) = 14.51 + 0.31 \sin(2\pi F(\%) / 40.4 - 4.77) + \xi_{318}} \quad ; r^2 = 0.71 \quad (1)$$

$$\underline{\text{Station 306: } M(\text{kt}) = 15.52 + 1.44 * \exp(-0.5 * (\ln(F(\%)) / 18.68) / 0.18)^2) + \xi_{306}} \quad ; r^2 = 0.93 \quad (2)$$

$$\underline{\text{Station 347: } M(\text{kt}) = 14.48 + 0.76 / (1 + (F(\%) / 9.64)^{-191.1}) + \xi_{347}} \quad ; r^2 = 0.70 \quad (3)$$

$$\underline{\text{Station 380: } M(\text{kt}) = 15.03 + 1.15 * \exp(-0.5 * (\ln(F(\%)) / 18.61) / 0.32)^2) + \xi_{380}} \quad ; r^2 = 0.81 \quad (4)$$

$$\underline{\text{Station 387: } M(\text{kt}) = 13.4 + 1.14 / (1 + \exp(-(F(\%) - 5.64) / 0.34)) + \xi_{387}} \quad ; r^2 = 0.86 \quad (5)$$

$$\underline{\text{Station 414: } M(\text{kt}) = 14.39 + 1.46 / (1 + ((F(\%) - 16.96) / 3.50)^2) + \xi_{414}} \quad ; r^2 = 0.98 \quad (6)$$

$$\underline{\text{Station 419: } M(\text{kt}) = 14.84 + 3.29 \sin(2\pi(F(\%)) / 15.64 + 0.61)^2 + \xi_{419}} \quad ; r^2 = 0.77 \quad (7)$$

$$\underline{\text{Station 417: } M(\text{kt}) = 14.32 + 2.31 / (1 + ((F(\%) - 35.19) / 7.20)^2) + \xi_{417}} \quad ; r^2 = 0.54 \quad (8)$$

Station 420: (علاقة ضعيفة أحصائية)

Station 423: (علاقة ضعيفة أحصائية)

$$\underline{\text{Station 435: } M(\text{kt}) = 14.44 + 0.76 / (1 + (F(\%) / 16.27)^{-197.3}) + \xi_{435}} \quad ; r^2 = 0.74 \quad (9)$$

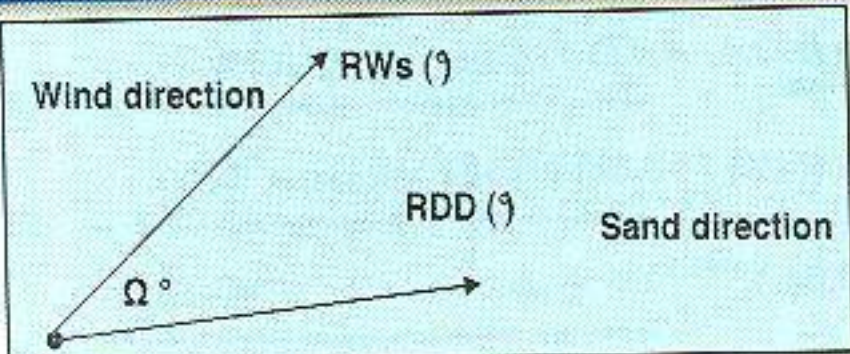
$$\underline{\text{Station 432: } M(\text{kt}) = 11.26 + 0.85 \sin(2\pi(F(\%)) / 9.63 - 3.98)^2 + \xi_{432}} \quad ; r^2 = 0.62 \quad (10)$$

$$\underline{\text{Station 425: } M(\text{kt}) = 14.57 + 3.40 / (1 + ((F(\%) - 30.76) / 5.27)^2) + \xi_{425}} \quad ; r^2 = 0.83 \quad (11)$$

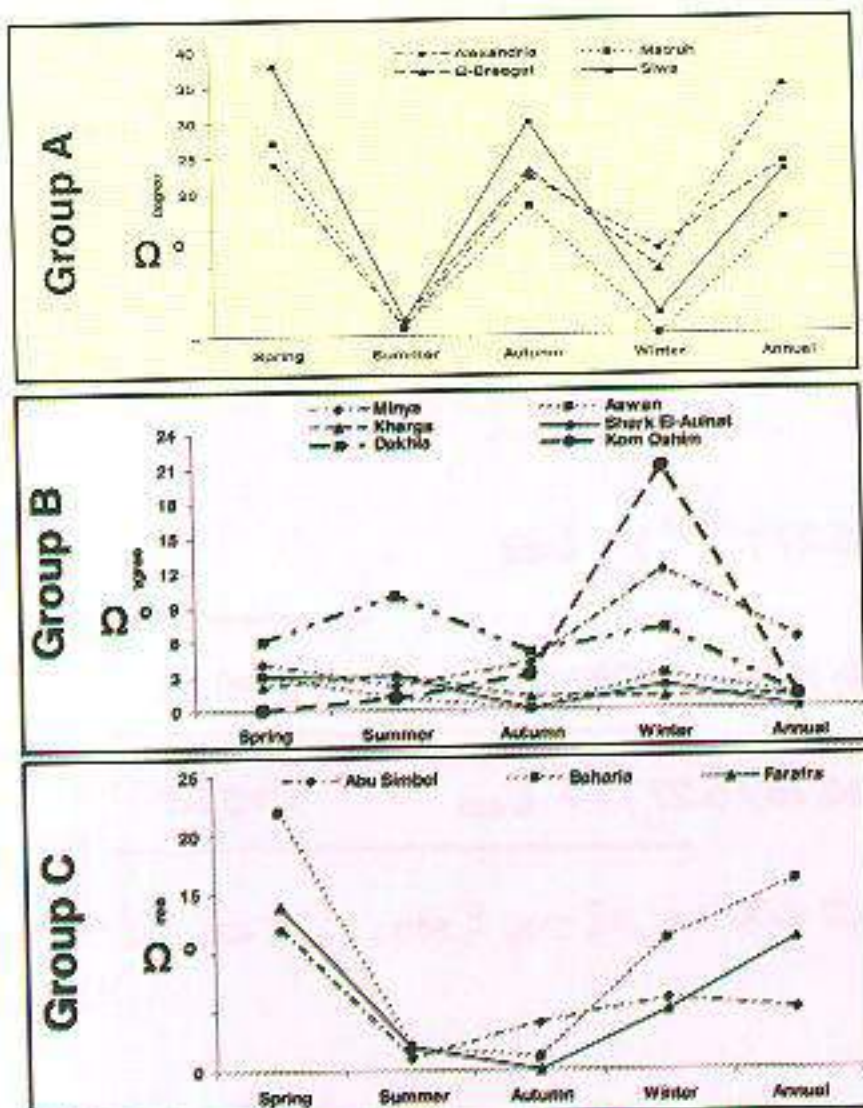
حيث أن $\xi_{318}, \xi_{306}, \dots, \xi_{425}$ هي معاملات التصحيح للمعدلات من (1) إلى (11) انظر جدول (٢)

جدول (٢): معاملات التصحيح للمعدلات المذكورة أعلاه

وقت الرصد اليومي	ξ_{318}	ξ_{306}	ξ_{347}	ξ_{380}	ξ_{387}	ξ_{414}	ξ_{419}	ξ_{417}	ξ_{435}	ξ_{432}	ξ_{425}
00	-0.012	-0.116	0.325	-0.056	0.362	-0.050	0.065	0.020	0.360	0.251	0.024
03	0.065	0.084	-0.275	-0.127	0.006	-0.133	-0.335	-0.168	0.160	0.023	-0.772
06	-0.098	0.284	0.225	0.173	-0.004	0.156	-0.767	0.033	-0.140	-0.022	0.130
09	0.050	0.075	0.000	0.360	-0.340	0.056	0.700	-0.110	0.000	-0.193	0.044
12	0.001	-0.037	0.167	0.226	-0.040	0.002	0.314	-0.006	0.100	0.120	0.002
15	-0.001	0.026	0.167	0.057	-0.040	-0.045	0.288	0.006	-0.100	0.027	-0.043
18	-0.053	-0.099	-0.333	-0.276	0.063	-0.027	-0.525	-0.072	-0.340	-0.360	-0.011
21	0.048	-0.216	-0.275	-0.356	-0.008	0.041	0.261	0.296	-0.040	0.154	0.626



والحرارات المتوسطة والعلقمي والصفرى والفرق بينهم والبخار النتح الممكـن والأمطار ومعامل رطوبة التربة بالإضافة إلى القيم التي تم الحصول عليها من الدراسة المائلة ، وكانت نتـيـجة الاختبارات ثلاث عـلـاقـات احـصـائـية معـقـدـه لـكـلـ مـجـمـوعـةـ مـحـطـاتـ :



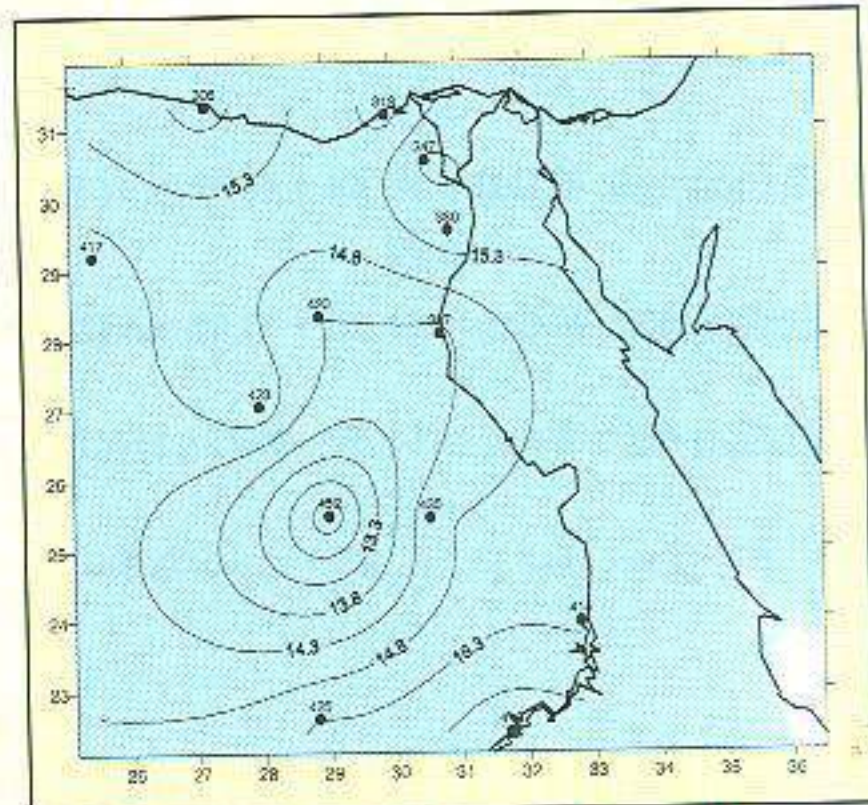
شكل ٤: التباين الموسمى لسلوك الزاوية Ω
مع محطـاتـ الـدـرـاسـةـ

مع ملاحظة أن سرعـاتـ الـريـاحـ الفـاعـلـةـ تكون أقلـ ماـيمـكنـ علىـ المـفـطـةـ المـتوـسطـةـ للـصـحـراءـ الغـربـيـةـ . ويـجبـ التنـوـيهـ عـلـىـ أـنـ الـقـيـمةـ الصـفـرـىـ لـلـرـيـاحـ الفـاعـلـةـ كـانـتـ ١٢ـ عـقـدةـ عـلـىـ جـمـيعـ الـمـحـطـاتـ «ـتـمـ اـخـاـذـهـ كـقـيـمةـ قـيـاسـيـةـ»ـ فـيـماـ عـدـاـ عـلـىـ مـحـطـةـ الـدـاخـلـةـ فـتـمـ تـعـيـيـنـهـاـ بـالـدـرـاسـةـ المـائـلـةـ لـتـكـونـ ٩ـ عـقـدةـ أـىـ أـقـلـ مـنـ الـقـيـمةـ الـقـيـاسـيـةـ الـمـعـرـوفـةـ لـتـحـرـكـ الرـمـالـ .

٣، تعـيـيـنـ مـحـصـلةـ الـرـيـاحـ الفـاعـلـةـ مـقـدـارـ Rwsـ (ktـ)ـ وـاتـجـاهـاـ (°ـ)ـ وـذـكـرـ باـسـتـخـادـ نـظـرـيـةـ فـيـثـاغـورـثـ لـلـتـحلـيلـ الـاتـجـاهـيـ .ـ وـقـدـ اـنـتـ النـتـائـجـ مـؤـكـدـةـ بـأـنـ هـنـاكـ فـارـقـ بـيـنـ زـاوـيـةـ تـحـرـكـ الرـمـالـ وـزـاوـيـةـ تـحـرـكـ الـرـيـاحـ وـتـغـيـرـ هـذـهـ الزـاوـيـةـ مـعـ الـمـكـانـ وـالـزـمـانـ ،ـ أـىـ أـنـ (IRADD-Rwdl)

وـقـدـ تـمـ درـاسـةـ سـلـوكـ تـغـيـرـ الزـاوـيـةـ المـذـكـورـةـ مـنـ حـيـثـ الـزـيـادـةـ وـالـنـقـصـانـ مـعـ الـزـمـانـ لـكـلـ الـمـحـطـاتـ الـمـدـرـوـسـةـ ،ـ وـجـاءـتـ النـتـائـجـ لـتـؤـكـدـ أـنـ مـحـطـاتـ الـدـرـاسـةـ تـنـتـفـىـ إـلـىـ تـلـاثـ مـجـمـوعـاتـ مـتـشـابـهـةـ السـلـوكـ لـلـزاـوـيـةـ المـذـكـورـةـ ،ـ أـنـظـرـ الشـكـلـ ٤ـ .ـ

وـتـمـ اـخـتـيـارـ أـرـتـيـاطـ الزـاوـيـةـ Ω ـ مـعـ الـعـدـيدـ مـنـ الـعـوـافـلـ الـمـنـاخـيـةـ مـنـهـاـ الضـغـطـ الـجـوـىـ وـالـرـطـوبـةـ الـنـسـبـيـةـ



خرـيـطةـ ٥ـ تـوزـعـ سـرـعـةـ الـرـيـاحـ الفـاعـلـةـ ktـ

For Group A, Ω° is a function of (RDP/DP index, T_{min} , P/PET);

$$\Omega = 37.12 + 0.88(Y_1 + Y_2 + Y_3) + C_A ; r^2 = 0.77 \quad (A)$$

Where:

$$Y_1 = -38.35 \text{ (RDP/ DP) } ; Y_2 = 17.23 / [1 + ((T_{min} - 11.88) / 0.85)^2] ;$$

$$Y_3 = -1.1 \sin [(2\pi (P/PET) / 0.48) - 1.13]^2 ; T_{min} : \text{Minimum temperature}$$

P/PET : Potential evapotranspiration ; Ca: Correction Factor

جدول ٣: معاملات التصحيح للمعادلة A

Month	Alexandria	Matruh	El Breegat	Siwa	Month	Alexandria	Matruh	El Breegat	Siwa
1	5.9960	-6.3833	-0.9347	-6.4887	7	4.4728	0.7504	3.5378	-1.6803
2	1.7709	-6.7609	2.3140	-7.3478	8	2.0398	-0.7461	1.7879	2.0433
3	3.5118	-6.0073	5.4978	0.2818	9	1.1201	-1.7810	2.7279	-4.4002
4	1.9390	-1.9215	14.5255	3.1601	10	3.1185	7.2308	-4.2644	12.0311
5	4.7295	-3.0320	0.1851	-15.1377	11	8.2302	-4.4734	-4.1444	-2.9827
6	-0.2478	4.4505	-0.5322	-3.2091	12	-2.9668	-4.8415	-0.7039	-6.4650

For Group B, Ω^o is a function of (RW_s/MW_s index, MW_s , T_{mean});

$$\Omega = -0.725074 + 1.033 (Y_1 + Y_2 + Y_3) + C_B ; \quad r^2 = 0.799 \quad (B)$$

Where:

$$Y_1 = 287.96 / [1 + ((RW_s/MW_s) - 0.31) / 0.05]^2 ;$$

$$Y_2 = 24.61 / [1 + ((MW_s - 12.90) / 0.38)^2] ; \quad Y_3 = 16.98 / [1 + ((T_{mean} - 13.4) / 0.00013)^2] ;$$

T_{mean} : Mean temperature. ; C_B : Correction factor.

جدول ٤: معاملات التصحيح للمعادلة B

Month	Kom Oshim	Minya	Aswan	Kharga	Dakhla	Shark El Auinat
1	-0.3561	3.2427	-1.9787	-2.5228	1.0028	-0.8284
2	1.3726	-3.3475	1.1169	-1.3569	0.7387	-0.6911
3	-4.1151	5.3467	2.0786	-1.5538	4.7106	2.0293
4	-1.9098	2.0502	-0.1824	-1.2897	-6.3054	0.1519
5	-0.0221	-0.4098	-1.0279	-2.6157	-4.5470	0.1289
6	-1.7001	-0.9849	2.1388	0.5152	3.0998	1.6018
7	-0.9561	0.0461	-0.2263	3.0151	1.2904	3.2585
8	-0.9573	2.0151	-1.1545	0.0151	-0.0915	0.3590
9	0.4598	-1.0951	-1.8553	0.6673	0.4319	-0.3414
10	2.4761	0.1187	-0.9922	-0.6347	1.3075	1.2387
11	-1.8375	1.9433	-2.3054	-3.3945	-0.9759	1.2791
12	0.2905	2.8148	3.0058	-2.5881	-1.0140	0.8068

For Group C, Ω^o is a function of ($(DP-RDP)$, T_{min} , RW_s);

$$\Omega = 2.56 + 0.936 (Y_1 + Y_2 + Y_3) + C_C ; \quad r^2 = 0.828 \quad (C)$$

Where: $Y_1 = 13.1 \exp [-0.5 (\ln ((DP-RDP) / 56.5) / 0.24)^2]$;

$$Y_2 = 5.78 / [1 + (T_{min} / 11.3)^{25675.1}]$$

$$Y_3 = 4.91 \exp [-0.5 ((RW_s - 8.89) / 1.203)^2] ; \quad C_C: \text{Correction factor.}$$

اكتشاف المناطق الأكثر خطورة بالمنطقة المدروسة بشرط أن تلتقي اتجاهات تحرك الرمال والرياح الفاعلة بزاوية متعامدة أو شبه متعامدة مع مناطق تربيب طبيعية سواء انخفاضات لسطح الأرض أو عوائق طبيعية كالجبال أو التلال أو أراضي صخرية - صناعية كالمبانى وخلافه، ومن ثم نقل سرعة الرياح وتتخلى عن احمالها من الرمال لتحدث الكارثة على منطقة التربيب، انظر الخريطة من ٦٠ إلى ٩٩.

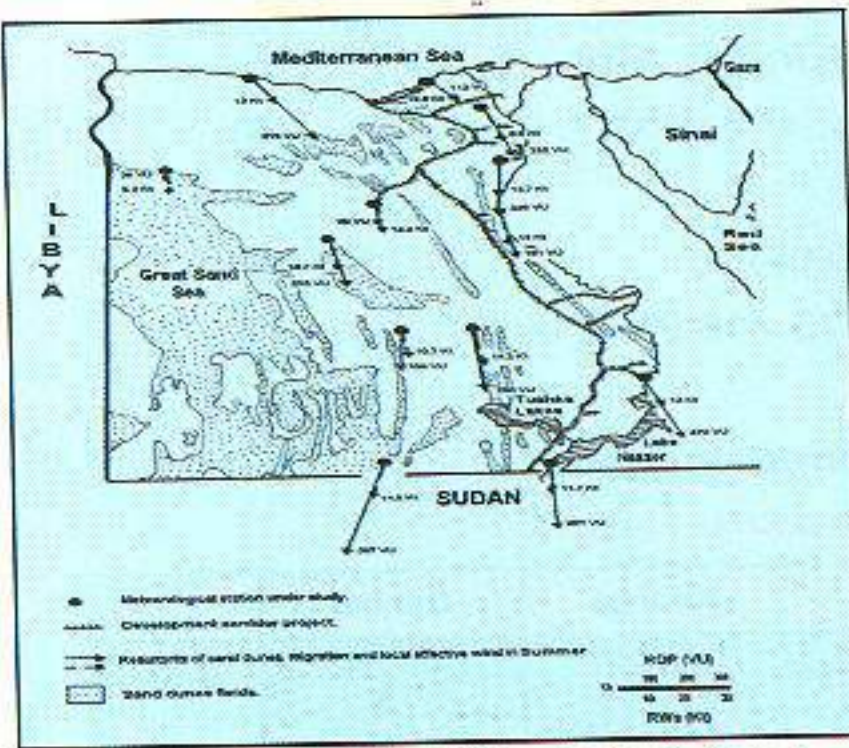
وتم تلخيص النتائج السابقة على خرائط موسمية، حيث تظهر بالخرائط منطقة الدراسة ومحطات الأرصاد الجوية موضحاً عليها المسارات العامة لكتلاب الرملية وكذلك الاتجاهات العامة للرياح والزاوية بينهم، كما توضح الخريطة أماكن المشروعات الحيوية مثل «بحيرة ناصر - بحيرات توشكى - مدن محافظة الوادى الجديد - مشروع مصر التنمية والتعمير»، ومن ثم يمكننا ببساطة شديدة

جدول ٥: معاملات التصحيف للمعادلة «C»

Month	Abu Simbel	Baharia	Farafra	Month	Abu Simbel	Baharia	Farafra
1	-2.9665	-0.8235	-2.0959	7	-3.1661	0.4428	1.4494
2	-1.9955	-1.4408	-5.6038	8	1.1730	2.4369	-0.5528
3	1.2426	1.8566	-0.0577	9	1.4480	5.4402	-2.5891
4	-1.4298	-1.9910	1.8256	10	2.4402	2.7806	0.4369
5	2.7879	1.0953	-0.3619	11	-1.5598	-3.4862	4.2674
6	-1.6292	-2.0704	0.4402	12	0.0286	0.6718	1.5560

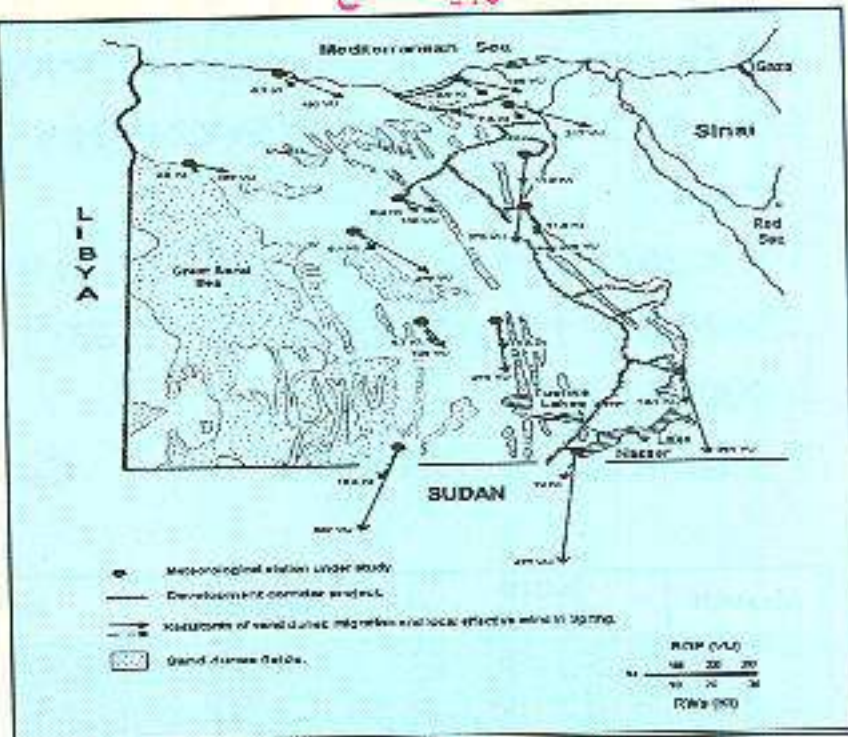
صيف

ربيع



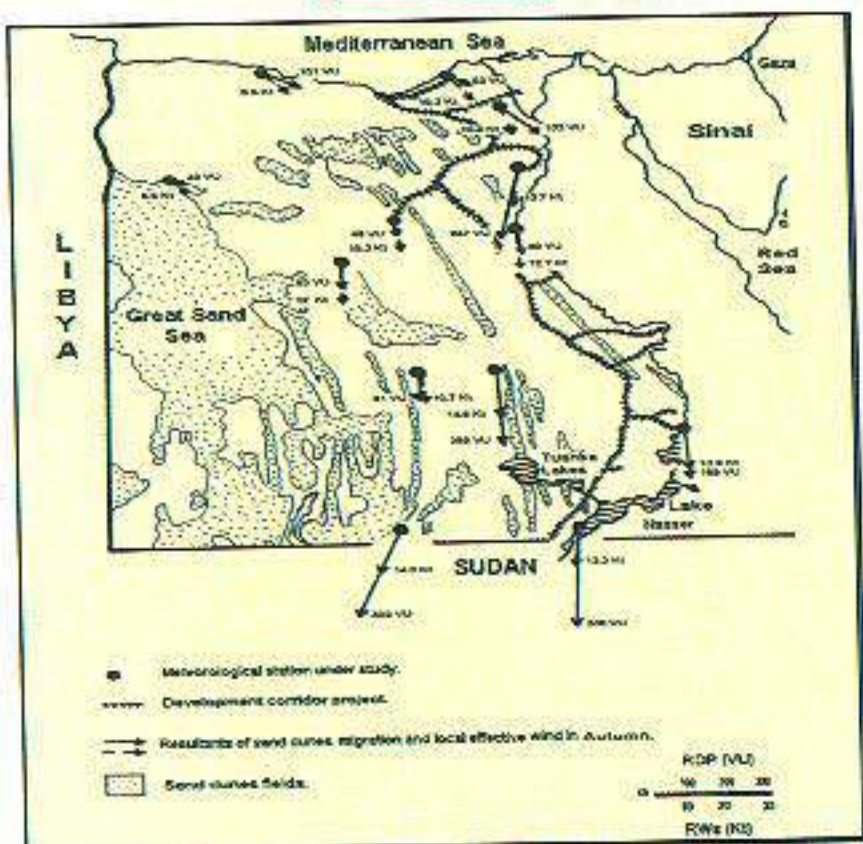
خريطة ٧: توضح الاتجاه العام لمسارات الكثبان الرملية والرياح الفاعلة في موسم الصيف.

شـتـاء

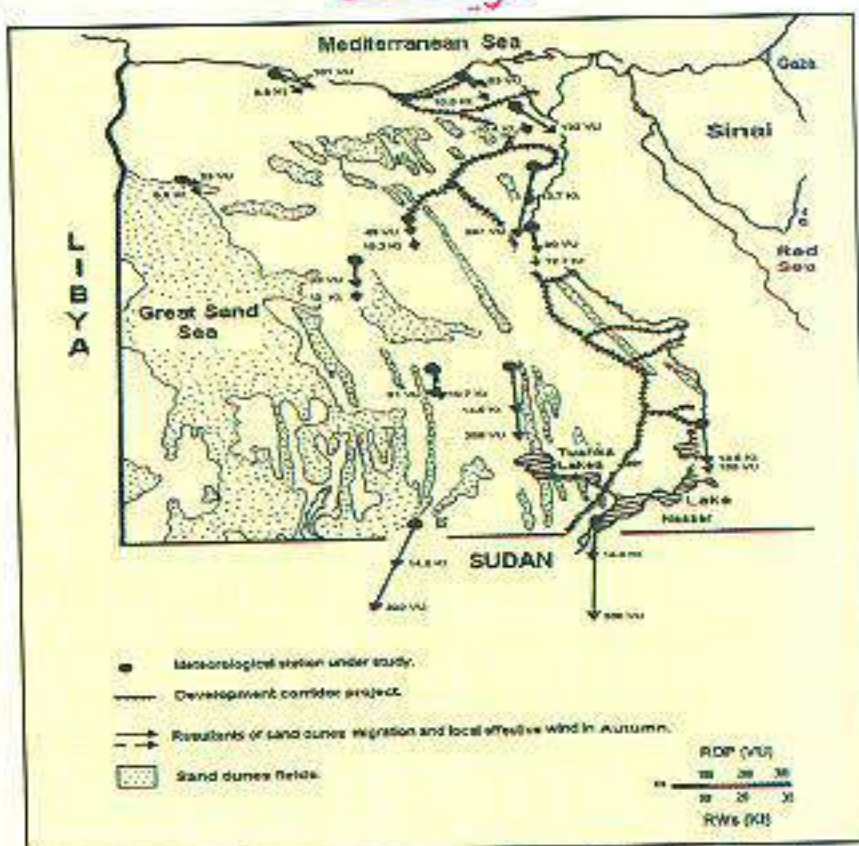


خريطة ٨: توضح الاتجاه العام لمسارات الكثبان الرملية والرياح الفاعلة في موسم الربيع.

خـرـيف



خريطة ٩: توضح الاتجاه العام لمسارات الكثبان الرملية والرياح الفاعلة في موسم الشتاء.



خريطة ١٠: توضح الاتجاه العام لمسارات الكثبان الرملية والرياح الفاعلة في موسم الخريف.

علاقة رياضية خطية بينهم .

$$\frac{RDP}{DP} = 0.0133 + 0.9663 \frac{RW_s}{MW_s} + C ; r^2 = 0.84 \quad (12)$$

ثالثاً:

- تم دراسة باقي العوامل المناخية بخلاف الرياح ، حيث تم الاستعانة بدراسة سابقة من قبل شبكة Pmm و كميات البخار النجع ٢٠٠٥ عن الأمطار P/day على جمهورية مصر الممكن PET على جمهورية مصر العربية الذي يعتبر دراسة هامة للتفاعلات بين الحرارة والرطوبة والإشعاع والرياح ، وبناء على ذلك يمكن استنتاج ما يسمى ب مؤشر رطوبة التربة P/PET بالدراسة الحالية ، وقد تم رسم خرائط كنترورية لتوضيح توزيعات كل منهم على جمهورية مصر العربية بشكل عام . انظر الخرائط من ١٠٠ الى ١٢٠ .

ومن أهم نتائج هذا الجزء من الدراسة

ملحوظة أن معامل رطوبة التربة بشكل عام يقل عن ٠،٢ على جميع أنحاء الجمهورية حتى على أكثر الأماكن وفرة للأمطار وأقلها بحراً ، منطقة رشيد على الساحل الشمالي الغربي للدلتا $P/PET = 0.144$ وهذا يدل على أن القطر المصري ككل يعاني فقراً شديداً لمقومات الإناث الطبيعية ، وهذا يعتبر مؤشر هام لأنعدام الغطاء النباتي الطبيعي على الأرضى الصحراوية الرملية بمصر والذي يعتبر الدرع الواقي الطبيعي ضد خطر تحرك الكثبان الرملية وهجومها على المناطق والطرق الحيوية ، لذلك يمكننا القول بأن عامل رطوبة التربة لا يمثل أهمية تذكر لتنشيط الكثبان الرملية أو الأرضى الرملية بشكل عام في أجواء القطر المصري ولكن عامل الرياح هو العامل الفعال والوحيد المتحكم في نشاط حركة الكثبان الرملية، ومن المعروف بشكل عام أن الغطاء النباتي على الأرضى الرملية يقوم بتنشيفتها بشكل فعال ولكن يجدر بالذكر والتنوية على أن نشاط الرياح أيضاً يؤثر على الغطاء النباتي الضعيف بكثافة جذوره وربما اقتلاعه وتعرية الحبوب المدفونة بفرض الإناث الحديث، ونعود لنؤكد أن الرياح هي العامل الرئيسي والمتحكم في إثارة الأرضى الرملية بمصر مما يجعلنا نتأكد أن دراسة الرياح بشكل مستفيض يمثل نواة أساسية للتنمية في الصحراء المصرية بشكل عام .

كما أظهرت الدراسة إهاراً - يتير القلق لكميات خدمة من الموارد المائية عن طريق البخار بمنطقة بحيرات ناصر وتوشكى، ويظهر تساؤل محير بالفعل لماذا لم يتخد المسئولين بالدولة حتى الآن إجراءات التنمية بحفر قنوات مائية لتحويل مياه النيل المهددة

ومن أهم نتائج هذا الجزء من الدراسة

(ا) بتحليل الخريطة الكنترورية للتوزيع النسب المئوية (%) للترددات السنوية للرياح الفاعلة بالنسبة للبيانات السنوية الخام للرياح ، وقد اتضح فيما عالمى جنوباً أبو سنبيل ٥٣،١ % خلال شهر سبتمبر وأكتوبر ، وشمالاً «مطروح ٣٢،١ %» خلال شهر يوليو مع ملاحظة انخفاضاً واضحاً لقيم تكرارات الرياح الفاعلة عند محطة «البحرية ٦،٤ %» والمنطقة المحيطة بها .

(ب) تم استنتاج علاقات رياضية تربط بين التغيرات خلال ساعات اليوم أثناء شهور السنة لتكرارات الرياح الفاعلة (%) F ولسرعاتها M وذلك لجميع المحطات تحت الدراسة فيما عدا محطة البحرية والفرافرة ، منطقة انخفاض نسبة تكرارات الرياح الفاعلة . كما لوحظ أن أعلى تكرارات خلال ساعات اليوم للرياح الفاعلة تحدث بين أوقات أرصاديه ١٢ - ١٥

معظم المحطات وبنسب حدوث لتكرارات تختلف من محطة لأخرى فيما عدا محطات البريجات وكوم أوشيم فقد لوحظ أن أعلى تكرار للرياح الفاعلة خلال ساعات اليوم بين أوقات أرصاديه متأخرة عن باقي المحطات « ١٥ - ١٨ » وبمتوسط نسبة حدوث ٥٤،٢ % ، ٢٨،٨ على التوالي ، واختلفت أيضاً محطة أبو سنبيل فكانت بين أوقات أرصاديه متقدمة عن باقي المحطات « ١٢ - ٠٩ » وبمتوسط نسبة حدوث ٦٠،١ % والجدير بالذكر أن محطة أسوان تميزت بتوزيعين شبه منتظمين لتكرارات الرياح الفاعلة خلال ساعات اليوم وكانت بين أوقات أرصاديه « ١٨ - ٠٩ » ، « ٠٦ - ٢١ » وبمتوسط نسبة حدوث ٨،٧ ، ١٦،٣ لكل من الفترتين على التوالي .

(ت) تم حساب محصلة الرياح الفاعلة « مقدار $RW_s \cdot kt$ - اتجاه Ω » وتم الحصول على الآتي :

- اكتشاف زاوية الفرق بين اتجاهى الرمال والرياح $\Omega = I(\Omega) - RDD(\Omega)$ والمتغيرة مع الزمان والمكان قد فتحت مجالاً يستحق البحث في دراسات قادمة بإذن الله ويختصر في إجابة تساؤل هام الا وهو هل التحرك الفعلى في الطبيعة بحقول الكثبان تكون في اتجاه RDD أم في اتجاه RW أم في اتجاه يرتبط بعلاقة ما مع كل منها !!! وبكل تأكيد الاستعانة بصور الأقمار الصناعية المتتابعة لحركة الكثبان الرملية ستكون خير دليل مرشد نحو الإجابة الشافية .

٢- تم استنتاج النسبة MW_s / MW_s حيث أن MW_s هي المتوسط الشهري للرياح الفاعلة، وذلك لتعبر عن مؤشر جديد للتغير الاتجاهى للرياح المحلية شهرياً ، كطريقة بديلة لتعيين قيمة RDP / DP وتم الحصول على

٤٠ خطأ من خطوط الكثبان الرملية الدائمة الحركة من الشمال إلى الجنوب بمعدل يتراوح بين ٢٠ و ١٠٠ متر في السنة تبعاً لاحجامها « الباز ٢٠٠٧ »، نوصي الجهات المعنية بالبدء من الآن في عمل المصدات اللازمة للرياح أو عمليات تثبيت للكثبان الرملية المتحركة لحماية شمال البحيرات خاصة الشمال الغربي منها لاسع حقول الكثبان الرملية هناك ومنع أي عمليات توسيع إضافية للمسطح المائي للبحيرات تحت مسميات التنمية كإمداد البحيرات إلى مدن محافظة الوادى الجديد بشق ترع أو قنوات مائية ويمكن استبدال الحاجة لذلك عن طريق مواسير أو أنابيب لنقل المياه لأماكن الحاجة إليها.

ثانياً : بالنسبة لبحيرة ناصر.

أظهر هذا الجزء من الدراسة « أحد مظاهر قصور النموذج المدروس » أن منطقة جنوب البحيرة « أبو سبل » تتعرض لاختصار الكثبان الرملية أضعاف قدر تعرض شمال البحيرة للخطر نفسه « أسوان »، ولكن سيتم التحفظ على هذه النتيجة فهي غير نهائية حيث أنه عند استكمال الدراسة ظهرت نتائج عكسية مما يتناقض ويتنافي مع النتيجة التي تم الحصول عليها بتطبيق نموذج فرايدرجر المعدل من قبل بيرس وأخرون ٢٠٠٥ سيتم عرضه بالعدد القادم بإذن الله بمجلة هيئة الأرصاد الجوية ».

ثالثاً : بالنسبة للمشروع المقترن مصر التنمية والتعهير ومناطق المدن الجديدة بالصحراء الغربية بالوادى الجديد.

تم تدعيم الخريطة المنشورة بكتاب مصر التنمية والتعهير ٢٠٠٧ للعالم الدكتور فاروق الباز « والتي يظهر فيها المر ومحاوره العرضية الأولى عشر مع حقول الكثبان الرملية بالجانب الغربى لنهر النيل والدلتا والصحراء الغربية »، باتجاهات تحرك الكثبان الرملية (RDD) مع اتجاهات محصلة الرياح الفاعلة (RW) خلال فصول السنة الأربع بمنطقة المشروع ومناطق محافظة الوادى الجديد « الخرائط

بالبحر المتوسط إلى منخفض القطارة ... أقول مياه النيل وليس مياه البحر المتوسط ٩٩٩ وليس هذا المشروع كان أفضل بكل المقاييس من العمل التنموي الذى أثبت فشله بمنخفض توشكى فتوقف إلى الحد الذى نراه عليه الان فقد كان مقرراً ان تمتد قنوات المياه العذبة إلى مدن محافظة الوادى الجديد ولكن ظهر شبحاً الكثبان الرملية وبالبحر ليتوقف المشروع عند هذا الحد ٩٩٩ نعود إلى منخفض القطارة الذى يتميز بمعدل بخر أقل بكثير ومعدلات أمطار أعلى ورياح شمالية غربية لا تمثل خطورة على حدودها الشمالية والشمالية الغربية ٩٩٩ أليست هذه المنطقة هي الدلتا القديمة منذ الاف بل ملايين السنين ٩٩٩ و يجب التنوية والملاحظة أن مناطق الكثبان الرملية هي وفيرة للمياه الجوفية أى أن التسرب لمياه النيل خلال رمال المنخفض سيكون محدود للغاية لو امتلاً منخفض القطارة بمياه النيل لاصبح بمثابة العصا السحرية بالصحراء القاحلة والتى ستحول الحياة المعدمة والجافة إلى واحات خضراء واسعة المدى ٩٩٩ أليست مصرنا الحبية في أشد الحاجة إلى ذلك ٩٩٩٩٩

التوصيات العامة

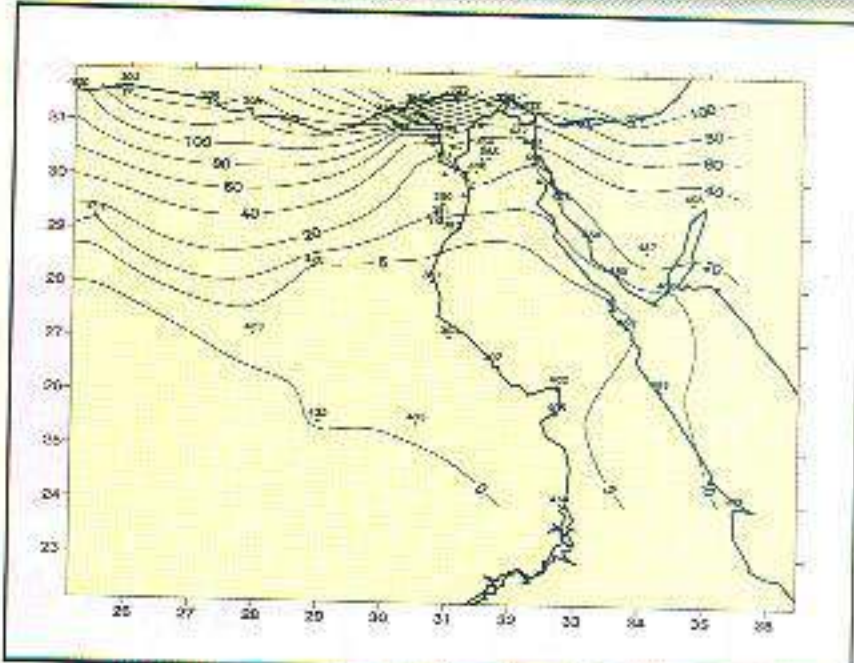
أولاً : بالنسبة لمشروع توشكى.

البحيرات محفوفة بالمخاطر خاصة الجانب الشمالي والشمالي الغربى منها نظراً لتأثيرها طوال فصول السنة بالرياح وحيدة الاتجاه والتى تمر أولاً بـ كثبان منخفضة الخارجية الممتدة طولياً من الشمال إلى الجنوب، حيث أن مؤشر التغير الاتجاهى للرياح الفاعلة أكبر ما يمكن ٠،٩ على منخفض الخارجية، كما أظهرت الدراسة أن نسبة الرياح الفاعلة بمنطقة البحيرات سنوياً تتراوح تقريراً مابين ٣٨ إلى ٤٤ % من البيانات الخام للرياح السنوية، ومتوسط سرعتها يتراوح بين ١٥،٣ إلى ١٥،٨ عقدة ، وقد أظهرت الدراسة أيضاً انعدام الأمطار تقريباً بالمنطقة مع ارتفاع لنسبة البحر النجع الممکن إلى أكثر من ٨،٥ مم / يوم ، ونظراً لتقاطع مسار بحيرات توشكى مع أكثر من

جدول ٦: معاملات التصحيح للمعادلة ١٢ ..

St. no. & Month	318	306	347	380	387	414	419	417	420	423	435	432	425
1	0.08	0.05	0.12	-0.08	0.08	0.02	0.05	0.13	0.04	-0.01	0.01	0.02	-0.02
2	0.09	0.06	0.12	-0.05	0.08	0.00	0.01	0.12	0.01	0.03	0.01	0.02	0.00
3	0.06	0.11	0.06	-0.05	-0.04	0.00	0.11	0.05	-0.06	0.00	0.04	-0.10	0.05
4	-0.01	-0.01	-0.12	-0.04	-0.05	-0.02	0.07	0.03	-0.07	-0.13	0.00	-0.04	0.01
5	-0.04	-0.18	-0.21	0.00	0.01	-0.01	0.10	-0.14	-0.17	-0.20	0.00	-0.02	-0.04
6	-0.04	0.02	-0.02	-0.01	0.07	0.04	0.13	0.02	-0.09	0.00	0.04	0.02	0.05
7	0.03	0.02	0.03	0.04	0.03	0.02	0.13	-0.43	0.05	-0.05	0.03	0.02	-0.05
8	-0.07	0.00	-0.04	0.01	0.03	0.00	0.00	0.04	0.03	-0.02	0.02	0.11	0.00
9	-0.07	-0.07	-0.03	0.01	0.03	0.01	0.07	0.06	-0.01	-0.01	0.01	0.01	-0.02
10	-0.10	-0.02	-0.10	0.02	0.03	0.00	0.07	-0.12	-0.16	0.00	0.01	0.02	-0.05
11	0.00	0.09	0.13	-0.05	-0.02	-0.01	0.05	0.12	-0.10	-0.07	-0.01	-0.10	0.00
12	0.06	0.09	0.12	-0.04	-0.05	-0.02	0.00	0.10	0.06	0.04	-0.01	-0.04	-0.09

السابق عرضها من «٦٠» إلى «٩٠» ومن خلال هذه الخرائط يمكن وبسهولة تحديد المناطق المعرضة للخطر من المشروع المقترن أو مناطق المدن الجديدة بالصحراء الغربية والتى تتقاطع بزاوية متعامدة أو شبه متعامدة مع اتجاهات RDD(٠) بشرط أن تلقي هذه الاتجاهات أولاً كميات من الرمال متاحة بقدر كاف لحدوث المخاطر وثانياً مناطق منخفضة عن مستوى سطح الأرض حول المنطقة المدروسة أو عوائق طبيعية أو غير طبيعية لإحداث عمليات الترسيب الطبيعية للرمال ، ومن ثم نوصى بضم الدراسة المائلة مع دراسات جيولوجية وجغرافية لمنطقة المشروع ومناطق المدن الجديدة بالصحراء الغربية وذلك لاتخاذ القرارات المناسبة إما بالخطيط لعمل مصدات للرياح أو تثبيت ميكانيكي للكثبان الرملية أو ما شابه ذلك من إجراءات الوقاية المتاحة والمناسبة.



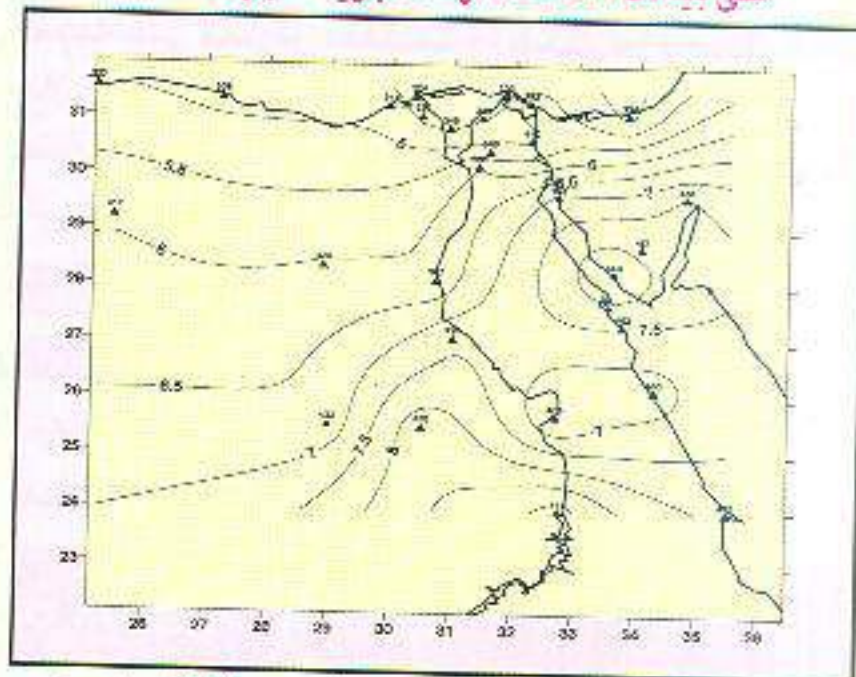
خرائط ١٠: توزيع خطوط تساوى الأمطار mm، Pعتماداً على بيانات ٥٩ محطة أرصاد جوية، شبكة ٢٠١٥

ش��راوجب

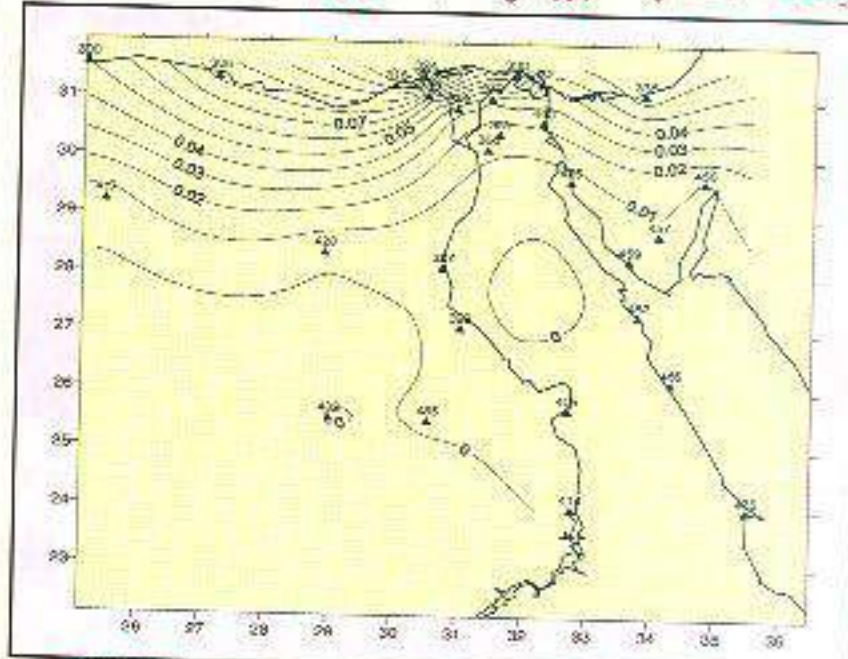
تتوجه الباحثة بالشكر والعرفان إلى الأستاذ الدكتور / محمد مجدى عبد الوهاب أستاذ الأرصاد الجوية بقسم الفلك والأرصاد الجوية - كلية العلوم - جامعة القاهرة لإشرافه العلمى ورعايته وعطائه الغير محدود لاستكمال مشوار الدراسة مع الباحثة أمتداداً للمرحوم الأستاذ الدكتور / محمد الشهاوى أستاذ الديناميكا الجوية بقسم الفلك والأرصاد الجوية
(رحمة الله تعالى وأسكنه جنة الفردوس

ما قدمه من علم نافع)

كما تتوجه الباحثة بخالص الشكر والامتنان إلى الأستاذ الدكتور / محمد محمود عيسى رئيس مجلس إدارة هيئة الأرصاد الجوية حالياً ورئيس الإدارة المركزية لبحوث الأرصاد الجوية والمناخ سابقاً لما قدمه مشكوراً للباحثة من خبراته الثمينة في مجال التحليل الإحصائية وتوجيهات سيادته لاختيار موضوع البحث.



خرائط ١١: توزيع البحر النتح الممكن mm/day، PETعتماداً على بيانات ٤٨ محطة أرصاد جوية مع حسابات نموذج بنى ١٩٦٣، شبكة ٢٠٠٥



خرائط ١٢: توزيع قيم مؤشر رطوبة التربة P/PET، على مناطق الدراسة الحالية